

6. R i d e a l E. K., R o b e r t s o n A. J. B. The spontaneous ignition of nitrocellulose. III Sympos. on Comb. and Flame Explos. Phenomena, Baltimore, Williams and Wilkins Co, Md., 1949, p. 536.
7. П о х и л П. Ф. О механизме горения бездымных порохов. Сб. «Физика взрыва», М., Изд-во АН СССР, 1953, № 2, стр. 181.
8. W o l f g o m M. L., F r a z e r J. H., K u h n L. P., D i c k e y E. E., O l i n S. M., B o w e r R. S., M a h e r G. G., M u r d o c k J. D., C h a n e y A., C a r g e n t e r E. The controlled thermal decomposition of Cellulose nitrate. J. Amer. Chem. Soc., 1955, vol. 77, No. 24, pp. 6573—6580; 1956, vol. 78, No. 18, pp. 4695—4704.
9. В иль В. Исследование стойкости нитроклетчатки. Морской сборник, 1904, № 1, стр. 87; № 2, стр. 153.
10. С а п о ж н и к о в А. В., Я г е л л о в и ч В. Разложение нитроклетчатки при температурах ниже воспламенения. Ж. Русск. физ.-хим. об-ва, 1905, т. 37, вып. 7, стр. 822.
11. С а п о ж н и к о в А. В. Разложение нитроклетчатки при температурах выше воспламенения (статья вторая). Ж. Русск. физ.-хим. об-ва, 1906, т. 38, вып. 7, стр. 1186.
12. М а н е л и с Г. Б., Р у б ц о в Ю. И., С м и р н о в Л. П., Д у б о в и ц к и й Ф. И. Кинетика термического разложения пироксилина. Кинетика и катализ, 1962, т. 3, вып. 1, стр. 42.
13. Ш т ейнберг А. С., У лыбин В. Б., Б а р зыкин В. В., М ерж анов А. Г. О зажигании конденсированных веществ в условиях постоянства температуры на поверхности. Инж.-физ. ж., 1966, т. 10, № 4, стр. 482.
14. К о р о б е й н и ч е в О. П., А л е к са н д р о в В. В., Л я х о в Н. З. Исследования кинетики и механизма высокотемпературного распада пироксилина с помощью времяз-пролетного масс-спектрометра. Изв. АН СССР, Сер. хим., 1969, № 10.

ОБ УСТОЙЧИВОСТИ СТАЦИОНАРНОГО РЕЖИМА ГОРЕНИЯ ТВЕРДОГО ТОПЛИВА

Г. Л. Комиссарова, И. М. Сулима

(Киев)

В работе Я. Б. Зельдовича [1] получена зависимость скорости стационарного горения твердого топлива от начальной температуры. А. Г. Истратов и В. Б. Либрович [2] исследовали устойчивость стационарного горения твердого топлива с учетом непостоянства температуры поверхности твердого топлива.

В данной работе изучено влияние тепловыделения в зонах реакции и неоднородности температурных и скоростных полей на устойчивость стационарного режима горения твердого топлива. Предположения о механизме горения твердого топлива, лежащие в основе данного исследования, изложены в работе [2].

Исследование устойчивости проводится методом малых возмущений. В работе получен новый критерий устойчивости стационарного режима горения твердого топлива. Как показали вычисления, проведенные на БЭСМ-2М, параметрами, существенно влияющими на устойчивость, оказываются σ , z_2 / c_p , Θ_r , Δ_2 / c_p , $v_{\xi_2}^{\circ}$.

Задача решается в одномерной постановке. Полагаем, что система координат неизменно связана с границей, отделяющей твердое топливо от продуктов его распада. Ось x направлена от поверхности твердого топлива к поверхности горения.

Область 1 описывается уравнением теплопроводности

$$\frac{\partial T_1}{\partial t} + u_1 \frac{\partial T_1}{\partial x} = a_1 \frac{\partial^2 T_1}{\partial x^2}, \quad a_1 = -\frac{\lambda_1}{c_{p1} \rho_1} \quad (1)$$

Процессы, происходящие в области 2, описываются системой уравнений, полученной в работе [3]:

$$\begin{aligned} \frac{\partial u_2}{\partial t} + u_2 \frac{\partial u_2}{\partial x} &= -\frac{1}{\rho_2} \frac{\partial p_2^*}{\partial x} + \frac{4}{3} \frac{1}{\rho_2} \frac{\partial}{\partial x} \left(\mu_2 \frac{\partial u_2}{\partial x} \right) & (2) \\ \frac{\partial \rho_2}{\partial t} + \frac{\partial (\rho_2 u_2)}{\partial x} &= 0, \quad c_{p2} \left(\frac{\partial T_2}{\partial t} + u_2 \frac{\partial T_2}{\partial x} \right) = \frac{1}{\rho_2} \frac{\partial}{\partial x} \left(\lambda_2 \frac{\partial T_2}{\partial x} \right) \\ \frac{\partial s_2}{\partial t} + u_2 \frac{\partial s_2}{\partial x} &= \frac{1}{\rho_2} \frac{\partial}{\partial x} \left(D_{p2} \frac{\partial s_2}{\partial x} \right) \end{aligned}$$

Область \mathcal{Z} , где находятся газообразные продукты сгорания, описывается уравнением теплопроводности.

$$\frac{\partial T_3}{\partial t} + u_3 \frac{\partial T_3}{\partial x} = a_3 \frac{\partial^2 T_3}{\partial x^2}, \quad \xi a_3 = -\frac{\lambda_3}{c_p \rho_3} \quad (3)$$

Здесь T , u , ρ , p^* , s — температура, скорость, плотность, давление и концентрация соответственно; c_p , μ , D , λ — теплоемкость, коэффициент динамической вязкости, коэффициент диффузии и коэффициент теплопроводности соответственно; t — время. Индекс 1 относится к k -фазе твердого топлива, индексы 2 и 3 к газовой фазе в областях 2 и \mathcal{Z} .

Запишем уравнения (1) — (3) в безразмерном виде. Безразмерные величины введем по формулам

$$\Theta = \frac{T - T_0}{T_b - T_0}, \quad \xi = \frac{u_1^\circ \rho_1 c_{p1}}{\lambda_1} x, \quad \tau = \frac{u_1^\circ \rho_1 c_{p1}}{\lambda_1} t$$

$$R_2 = \frac{\rho_2}{\rho_3^\circ}, \quad p = \frac{p^*}{\rho_3^\circ u_n^2}, \quad U = \frac{u}{u_n}$$

Здесь u_1° — линейная скорость стационарного горения, u_n — нормальная скорость стационарного распространения пламени, ρ_3° — плотность газа в области \mathcal{Z} при стационарном горении, T_0 — начальная температура твердого топлива, T_b — температура сгорания.

Систему уравнений (1) — (3) необходимо дополнить уравнением состояния, которое для случая несжимаемого газа (скорость пламени мала по сравнению со скоростью звука) сводится к связи между плотностью газа и его температурой [4]

$$R_2 = \frac{1 - \alpha}{1 + \beta \theta_2}, \quad \beta = \frac{1 - \alpha}{\alpha} \quad (4)$$

Здесь α — отношение плотностей горючего и холодного газа.

Введя обозначения для массовой скорости горения $m = RU$ и принимая во внимание уравнение состояния (4), систему уравнений (1) — (3) можно записать в виде

$$\frac{\partial \theta_1}{\partial \tau} + m_1 \frac{\partial \theta_1}{\partial \xi} = \frac{\partial^2 \theta_1}{\partial \xi^2} \quad (m_1 = \frac{\rho_1 u_1}{\rho_1 u_1^\circ}, \quad \rho_1 u_1 = \rho_3^\circ u_n) \quad (5)$$

$$\varepsilon \frac{\partial m_2}{\partial \tau} + \varepsilon \frac{\beta m_2}{1 + \beta \theta_2} \frac{\partial \theta_2}{\partial \tau} + m_2 (1 + \beta \theta_2) \frac{\partial m_2}{\partial \xi} + \beta m_2^2 \frac{\partial \theta_2}{\partial \xi} = -\frac{\partial p_2}{\partial \xi} +$$

$$+ \frac{4}{3} \frac{P}{v} \left[(1 + \beta \theta_2) \frac{\partial^2 m_2}{\partial \xi^2} + 2\beta \frac{\partial m_2}{\partial \xi} \frac{\partial \theta_2}{\partial \xi} + \beta m_2 \frac{\partial^2 \theta_2}{\partial \xi^2} \right]$$

$$- \frac{\varepsilon \beta}{(1 + \beta \theta_2)^2} \frac{\partial \theta_2}{\partial \tau} + \frac{\partial m_2}{\partial \xi} = 0, \quad \varepsilon \frac{1}{1 + \beta \theta_2} \frac{\partial \theta_2}{\partial \tau} + m_2 \frac{\partial \theta_2}{\partial \xi} = \frac{1}{v} \frac{\partial^2 \theta_2}{\partial \xi^2}$$

$$\varepsilon \frac{1}{1 + \beta \theta_2} \frac{\partial s_2}{\partial \tau} + m_2 \frac{\partial s_2}{\partial \xi} = \frac{1}{vL} \frac{\partial^2 s_2}{\partial \xi^2}, \quad \varepsilon \frac{\partial \theta_3}{\partial \tau} + \frac{\partial \theta_3}{\partial \xi} = \frac{1}{v} \frac{\partial^2 \theta_3}{\partial \xi^2}$$

$$\left(\varepsilon = \frac{\rho_3^\circ}{\rho_1}, \quad \lambda = \frac{\lambda_2}{\lambda_1} = \frac{\lambda_3}{\lambda_1}, \quad c_p = \frac{c_{p2}}{c_{p1}} = \frac{c_{p3}}{c_{p1}}, \quad v = \frac{c_p}{\lambda} \right)$$

Здесь P , L — числа Прандля и Льюиса соответственно.

Составим граничные условия. Решения уравнений (5) должны удовлетворять условиям на бесконечности

$$\theta_1 \rightarrow 0 \quad \text{при } \xi \rightarrow -\infty, \quad \theta_3 < \infty \quad \text{при } \xi \rightarrow +\infty \quad (6)$$

и условиям на стыке областей. Полагаем, что сами поверхности реакции могут испытывать малые смещения. Координата зоны реакции в k -фазе твердого топлива в неподвижной системе координат равна

$$x_{n1} = x_{n0} - \int_0^t u_1 dt$$

где x_{n0} — начальное положение поверхности твердого топлива. Отсюда имеем

$$u_1 = -dx_{n1}/dt$$

Полагаем, что

$$\xi_{n1} = \xi_{n0} - (\tau + fe^{\omega\tau})$$

Тогда

$$m_1 = 1 + \omega f e^{\omega\tau}$$

В подвижной системе координат $\xi_1 = 0$. Полагаем, что координата зоны реакции в газе

$$\xi_2 = \xi_2^\circ + ge^{\tau\omega}$$

Здесь ξ_2° — стационарное положение зоны реакции. Согласно [3] ширина области 2 имеет порядок $\mu_2 / \rho_2 u_2$. Следовательно

$$\xi_2^\circ \sim \frac{u_1^\circ \rho_1 c_{p1}}{\lambda_1} \frac{\mu_2}{\rho_2 u_2} \frac{P}{v} \quad (P = \frac{\mu_2 c_{p2}}{\lambda_2})$$

Для стационарного процесса горения $\rho_1 u_1^\circ = \rho_2 u_2$. Тогда имеем

$$\xi_2^\circ \sim P / v \quad (7)$$

Будем полагать [4], что изменения скорости химических реакций w_1 и w_2 , к которым приведет возмущение стационарного состояния, обусловлены изменением температуры T_s и T_r на соответствующих поверхностях в k -фазе и газе. Такое предположение естественно при больших энергиях активации химических реакций E_1 и E_2 . Тогда скорости реакции в k -фазе и газе соответственно можно записать в виде

$$m_1 = \frac{\rho_1 w_1}{\rho_1 u_1^\circ} = 1 + z_1 (\theta_s^\circ + \theta_s), \quad z_1 = \frac{E_1 (T_b - T_0)}{2RT_s^2}$$

$$m_2 = \frac{\rho_2 w_2}{\rho_1 u_1^\circ} = 1 + z_2 (\theta_r^\circ + \theta_r), \quad z_2 = \frac{E_2 (T_b - T_0)}{2RT_b^2}$$

Границные условия в безразмерном виде на стыке областей имеют вид
при $\xi_1 = 0$

$$\theta_1 = \theta_2 = \theta_s, \quad \frac{\partial \theta_1}{\partial \xi} - \lambda \frac{\partial \theta_2}{\partial \xi} - (\theta_s + \theta_s^\circ) (1 - c_p) m_1 = \frac{q_1 m_1}{c_{p1} (T_b - T_0)} \quad (8)$$

$$m_1 = m_2 = 1 + \omega / e^{\omega\tau}, \quad m_2 s_2 - \frac{1}{vL} \frac{\partial s_2}{\partial \xi} = m_1 \quad \left(\theta_0^\circ = \frac{T_0}{T_b - T_0} \right)$$

при $\xi = \xi_2^\circ$

$$\theta_2 + \xi_2 \frac{\partial \theta_2}{\partial \xi} = \theta_3 = \theta_r, \quad \lambda \frac{\partial}{\partial \xi} \left(\theta_2 + \xi_2 \frac{\partial \theta_2}{\partial \xi} \right) - \lambda \frac{\partial \theta_3}{\partial \xi} = \frac{q_2 m_1}{c_{p1} (T_b - T_0)}$$

$$s_2 + \xi_2 \frac{\partial s_2}{\partial \xi} = 0, \quad - \frac{1}{vL} \left(\frac{\partial s_2}{\partial \xi} + \xi_2 \frac{\partial^2 s_2}{\partial \xi^2} \right) = m_2$$

Здесь q_1 и q_2 — тепловой эффект реакции в k -фазе и газе соответственно.

Таким образом, имеем систему шести дифференциальных уравнений (5) с шестью неизвестными θ_1 , θ_2 , θ_3 , p_2 , m_2 , s_2 , решение которой должно удовлетворять граничным условиям (6) и (8).

В дальнейшем значение p_2 не потребуется, поэтому второе уравнение (5) может быть опущено; в дальнейшем оно не рассматривается.

Исследование устойчивости проведем методом малых возмущений. Будем искать решения полученной системы уравнений в виде

$$f(\xi, \tau) = F(\xi) + [\varepsilon^\circ f^\circ(\xi) + \varepsilon f'(\xi)] e^{\varepsilon\tau} \quad (9)$$

Подставляя решение вида (9) в уравнения (5), а также в граничные условия (6) и (8), оставляя в них члены вида $F(\xi)$ и приравнивая коэффициенты при ε° , получим систему уравнений и граничных условий, описывающих стационарный процесс и возмущенное состояние. Решение стационарной задачи имеет вид

$$\theta_1 = \theta_s e^\xi, M_2 = \text{const} = 1 \quad (10)$$

$$\theta_2 = \theta_r - \frac{\Delta_2}{c_p} \left[1 - \frac{1}{1 + v\xi_2^\circ} \exp v(\xi - \xi_2^\circ) \right] \quad \left(\Delta_i = \frac{q_i}{c_{p1} (T_b - T_0)}, \quad i = 1, 2 \right)$$

$$S_2 = 1 - \frac{1}{1 + vL\xi_2^\circ} \exp vL(\xi - \xi_2^\circ), \quad \theta_3 = \theta_r$$

$$\left(\theta_s = \frac{1}{c_p} \left[\Delta_1 + \Delta_2 \frac{e^{v\xi_2^\circ}}{1 + v\xi_2^\circ} + \theta_0^\circ (1 - c_p) \right], \quad \theta_2 = \frac{1}{c_p} \left[\Delta_1 + \Delta_2 + \theta_0^\circ (1 - c_p) \right] \right)$$

После сокращения на общий множитель $e^{\omega \xi}$ систему уравнений для возмущения можно записать в виде

$$\frac{d^2\theta_1}{d\xi^2} - \frac{d\theta_1}{d\xi} - \omega_1 \theta_1 = -\omega_f \Theta_s e^{\xi}, \quad \frac{1}{v} \frac{d^2\theta_2}{d\xi^2} - \frac{d\theta_2}{d\xi} = m_2 \frac{d\Theta_2}{d\xi} \quad (11)$$

$$\frac{dm_2}{d\xi} = 0, \quad \frac{1}{vL} \frac{d^2s_2}{d\xi^2} - \frac{ds_2}{d\xi} = m_2 \frac{dS_2}{d\xi}, \quad \frac{1}{v} \frac{d^2\theta_3}{d\xi^2} - \frac{d\theta_3}{d\xi} = 0 \quad (12)$$

Границные условия

$$\theta_1 \rightarrow 0 \quad \text{при } \xi \rightarrow -\infty, \quad \theta_3 \rightarrow \infty \quad \text{при } \xi \rightarrow +\infty$$

при $\xi = 0$

$$\theta_1 = \theta_2 = \theta_s, \quad \frac{d\theta_1}{d\xi} = \lambda \frac{d\theta_2}{d\xi} = \theta_s (1 - c_p) - \omega_f (\Theta_s + \theta_0) (1 - c_p) = \Delta_1 z_1 \theta_s$$

$$m_1 = m_2 = \omega_f, \quad z_2 \theta_s = \omega_f, \quad s_2 + \omega_f S_2 = \frac{1}{vL} \frac{ds_2}{d\xi} = z_1 \theta_s$$

при $\xi = \xi_2$

$$\theta_2 + g \frac{d\theta_2}{d\xi} + \xi_2 \frac{d\theta_2}{d\xi} = \theta_2 = \theta_r, \quad \lambda \frac{d\theta_2}{d\xi} + \lambda g \frac{d^2\theta_2}{d\xi^2} + \lambda \xi_2 \frac{d^2\theta_2}{d\xi^2} - \lambda \frac{d\theta_3}{d\xi} = \Delta_2 z_2 \theta_r$$

$$s_2 + g \frac{ds_2}{d\xi} + \xi_2 \frac{ds_2}{d\xi} = 0, \quad -\frac{1}{vL} \left[\frac{ds_2}{d\xi} + g \frac{d^2S_2}{d\xi^2} + \xi_2 \frac{d^2s_2}{d\xi^2} \right] = z_2 \theta_r$$

Решение системы (11) при условиях (12) будет следующим:

$$\begin{aligned} \theta_1 &= ae^{r\xi} + f\theta_s e^{\xi}, \quad r = 1/2(1 + \sqrt{1+4\omega}), \quad m_0^2 = \text{const} = \omega_f \\ \theta_2 &= b + c \exp v\xi + f \frac{\Delta_2}{\lambda} \frac{\omega\xi}{1+v\xi_2} \exp v(\xi - \xi_2) \\ s_2 &= k + l \exp vL\xi - f \frac{vL\omega\xi}{1+vL\xi_2} \exp vL(\xi - \xi_2) \end{aligned} \quad (13)$$

Подставляя решения (13) в граничные условия (12), получаем систему однородных уравнений для определения постоянных a, b, c, d, f, g, k, l . Для существования нетривиального решения необходимо, чтобы определитель этой системы равнялся нулю. Уравнение для определения нулевого приближения комплексной частоты имеет вид

$$2\omega(y-1) + \sigma\omega + y = (y + \sigma\omega)\sqrt{1+4\omega} \quad (14)$$

где

$$y = \frac{z_2}{c_p} \theta_s, \quad \sigma = \frac{z_2}{z_1 c_p} \quad (15)$$

После несложных преобразований частотное уравнение может быть представлено в виде

$$\omega^3 + \eta_2 \omega^2 + \eta_1 \omega = 0 \quad (16)$$

где

$$\eta_1 = \sigma^{-2}y, \quad \eta_2 = \sigma^{-2}[-(y-1)^2 + \sigma(y+1)]$$

Корни этого уравнения следующие:

$$\omega_1 = 0, \quad \omega_{2,3} = -1/2 \pm 1/2 \sqrt{\eta_2^2 - 4\eta_1} \quad (17)$$

Поскольку при решении уравнения (14) приходилось возводить его в квадрат, полученные корни следует проверить подстановкой в исходное уравнение для исключения лишних корней.

Возмущения, соответствующие корню $\omega_1 = 0$, возникают при смещении вдоль оси x первоначальных стационарных распределений величин без изменения их формы. Согласно [5] определение устойчивости в силу инвариантности постановки задачи относительно сдвига по координате x также должно быть инвариантным относительно этого преобразования.

Корни уравнения (16) комплексные, если $(\eta_2^2 - 4\eta_1) < 0$. Из (17) следует, что в этом случае решение описывает устойчивый процесс ($\operatorname{Re}\omega < 0$), если

$$[-(y-1)^2 + \sigma(y+1)] > 0 \quad (18)$$

Из (10) следует

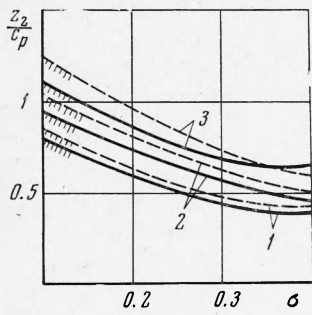
$$\Theta_s = \Theta_r - \frac{\Delta_2}{c_p} \left(1 - \frac{\exp v\xi_2}{1+v\xi_2} \right) \quad (19)$$

И следовательно, температура поверхности твердого топлива при стационарном режиме горения зависит от Θ_r , Δ_2 / c_p , $v\xi_2^0$, т. е. от свойств газовой фазы.

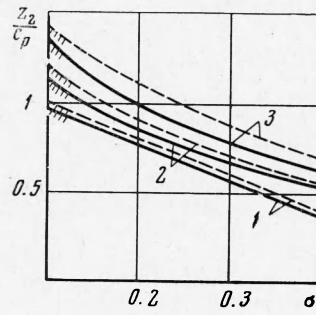
Подставляя в (15) соотношение (19), получаем

$$y = \frac{z_2}{c_p} \left[\Theta_r - \frac{\Delta_2}{c_p} \left(1 - \frac{1}{1 + v\xi_2^0} \exp v\xi_2^0 \right) \right] \quad (v\xi_2^0 \sim P)$$

Таким образом, полученное условие устойчивости горения твердого топлива (18) зависит от Θ_r , z_2 / c_p , σ , Δ_2 / c_p , $v\xi_2^0$. В отличие от известных ранее критериев устойчивости [1,2], Θ_s определяется в результате решения стационарной задачи.



Фиг. 1



Фиг. 2

Для оценки влияния этих параметров на устойчивость горения твердого топлива были проведены вычисления на БЭСМ-2М. Задавались следующие интервалы изменения основных величин:

$$0.1 \leq \sigma \leq 0.4, \quad 0 \leq z_2 / c_p \leq 2.5, \quad 0.8 \leq v\xi_2^0 \leq 2.5, \quad 0.3 \leq \Delta_2 / c_p \leq 0.85, \quad \Theta_r = 1$$

Результаты этих вычислений приведены на фиг. 1 и 2. На фиг. 1 кривые 1, 2, 3 соответствуют $\Delta_2 / c_p = 0.3, 0.5$ и 0.6 . Сплошные кривые соответствуют $v\xi_2^0 = 0.8$, пунктирные кривые — $v\xi_2^0 = 1.1$. На фиг. 2 кривые 1, 2, 3 соответствуют $\Delta_2 / c_p = 0.4, 0.5$ и 0.6 . Сплошные кривые соответствуют $v\xi_2^0 = 1.5$, пунктирные кривые — $v\xi_2^0 = 2.5$. Положение областей неустойчивости показано штриховкой. Из этих графиков видно, что с увеличением $v\xi_2^0$ при $\Delta_2 / c_p = \text{const}$ область устойчивости и с увеличением Δ_2 / c_p при $v\xi_2^0 = \text{const}$ область устойчивости смещается вверх по оси z_2 / c_p . Следовательно, с увеличением ширины области подогрева (теплая зона) и теплового эффекта реакции в газе область устойчивости смещается вверх по оси z_2 / c_p .

В заключение авторы благодарят Н. А. Кильчевского за обсуждение работы и ценные замечания, В. Г. Ключникову за помощь, оказанную при составлении программы вычислений на БЭСМ-2М.

Поступила 23 IV 1969

ЛИТЕРАТУРА

- Зельдович Я. Б. К теории горения порохов и взрывчатых веществ. ЖЭТФ, 1942, т. 12, вып. 11, 12.
- Истратов А. Г., Либрович В. Б. Об устойчивости горения пороха. ПМТФ, 1964, № 5.
- Комиссарова Г. Л., Сулима И. М. Рівняння руху стисливого вязкого газу в тонких переходных зонах. Доповіді АН УССР, Сер. А, 1967, № 12.
- Истратов А. Г., Либрович В. Б. О влиянии процессов переноса на устойчивость плоского фронта пламени. ПММ, 1966, т. 40, вып. 3.
- Баренблatt Г. И., Зельдович Я. Б. Об устойчивости распространения пламени. ПММ, 1957, т. 21, вып. 6.